

원추형 주사 방식의 3차원 영상 재구성 (TTCR) 알고리즘
- 평행주사 방식 (TTR) 알고리즘의 좌표변환

이상지, 나종범, 조장희
한국과학기술원 전기 및 전자공학과

True Three-Dimensional Cone-Beam Reconstruction (TTCR) Algorithm
- Transform Method from Parallel-beam (TTR) Algorithm

S. Z. Lee, J. B. Ra and Z. H. Cho
Dept. of Electrical Engineering, KAIST

Abstract

A true three-dimensional cone-beam reconstruction (TTCR) algorithm for the complete sphere geometry is derived, which is applicable to the direct volume image reconstruction from 2-D cone-beam projections. The algorithm is based on the modified filtered backprojection technique which uses a set of 2-D space-invariant filters and is derived from the previously developed parallel-beam true three-dimensional reconstruction (TTR) algorithm. The proposed algorithm proved to be superior in spatial resolution compared with the parallel-beam TTR algorithm.

1. 개요

기존의 3차원(3-D) 영상재구성 알고리즘은 평행주사 방식 혹은 부채꼴 주사방식을 이용한 일차원(1-D) 주사데이터를 일차원 필터를 거친 후 역주사(backprojection)하는 방법으로 여러 단층(multislice)의 2차원 영상을 재구성하여 결합하는 방법과 [1-3] 평행주사 방식의 이차원(2-D) 주사 데이터를 얻은 후 이차원 필터를 거친 후 역주사하는 방법으로 3차원 영상을 직접 재구성하는 방법이 있다 [4-8]. 2차원 평행주사 데이터는 직접 얻는 수도 있지만 경우에 따라서서 원추형 주사 데이터를 재배열(rebinning)하여 얻는다. 또 한가지 방법은 얻어진 원추형 이차원 주사 데이터를 재배열 하지 않고 직접 이차원 필터링을 거친 후 역 주사하는 방법도 가능하겠다. 이 경우 평행주사 방식에 비해 몇가지 잊점이 있는데, 재배열이 필요없기 때문에 시간이 절약되고 간편하며, 더우기 재

구성된 영상의 해상도가 증가된다는 장점이 있다.

원추형 주사데이터로부터 직접 3차원 영상을 재구성하는 몇가지 방법들이 과거에 제시된 바 있다 [9-15]. 그러나 이러한 방법들은 나름대로 몇가지 문제점을 안고 있다.

본 논문에서는 새로운 방법으로 완전한 구 형태의 측정장치를 가정하고 원추형 방식의 3차원 영상재구성 (A True Three-dimensional Cone-beam Reconstruction (TTCR)) 알고리즘을 제시하고 있으며, 기존의 평행주사 방식의 3차원 영상재구성 (True Three-dimensional Reconstruction(TTR)) 으로부터 좌표변환 방식을 이용하여 유도했다. 새로 제시한 TTCR 알고리즘의 완전한 형태는 공간 좌표에 따라 변하는 계수를 갖는 필터 (space-variant filter) 를 요구하지만 보다 실제적이고 계산시간적으로 효율적인 알고리즘을 제시하기 위해 공간좌표에 무관하게 정해지는 계수를 갖는 필터 (space-variant filter)로 구성되는 알고리즘으로 변형시켰다.

실제적인 측정장치는 구조상 완전한 구라기 보다는 양쪽이 잘려나간 형태의 구조를 갖기 때문에 보다 일반적인 알고리즘을 필요로 하지만 이 논문에서 제시하는 방법이 차후에 개발하고자 하는 알고리즘의 기본 토대가 될 것으로 생각된다.

2. 기본적인 TTCR 알고리즘의 유도

완전한 구 형태의 측정구조에서 재구성하고자 하는 3차원 영상은 어느 한 방향에 대해 그 방향에 수직한 2차원 단층(slice) 영상의 결합으로 생각할 수 있는데, 이러한 방향성분이 여러개가 존재한다. 이러한 각각의 방향성분에 대한 3차원 영상은 근본적으로 동일한 것이므로 최종적으로 얻고자 하는 영상은 모든 방향성분에 대한 각 영상들의 합으로 구해질 수 있다. 이때 개별적인 방향성분에 대한 영상이 그 자체로서 3차원 영상이지만 제한된 주사데이터의 사용으로 잡음대 신호비(SNR) 가 상대적으로 낮기 때문에 모든 방향에 대한 영상의 합을 구하는 것이 필요해진다.

이제 평행주사 구조에서 하나의 방향벡터를 $\Omega = (\phi, \theta)$ 라고 표현하고 주어진 방향 벡터에 대한 2차원 단층 결합에 의해 얻어진 3차원 영상을 $f(r'; \phi, \theta)$ 라고 하면, 최종적으로 모든 방향 벡터에 대한 합으로 얻어진 3차원 영상 $f(r)$ 은 다음과 같이 얻어진다.

$$f(r) = \frac{\int d\Omega f(r'; \phi, \theta)}{\Omega} = \frac{1}{2\pi} \int_{-\pi/2}^{\pi/2} d\phi \int_{0}^{\pi} d\theta \sin\theta f(r'; \phi, \theta) \quad (1)$$

$$f(r'; \phi, \theta) = \frac{1}{4\pi^2} \int_0^{2\pi} d\alpha [p_\alpha(s, t; \phi, \theta) * h_2(s, t)] \quad (2)$$

여기서 $p_\alpha(s, t; \phi, \theta)$ 는 방향 백터 $\Omega = (\phi, \theta)$ 에 수직한 평면상에서 방위각 α 지점에서 평행주사 방식으로 얻은 주사데이터를 나타내고 (그림 1 참조) $h_2(s, t)$ 는 이차원 필터이며 $*$ 는 이차원 convolution 을 의미한다. 필터는 이차원 ramp 함수의 푸리에 변환으로 다음과 같이 주어진다.

$$H_2(\omega_s, \omega_t) = |\omega_s|$$

혹은

$$h_2(s, t) = F_2^{-1} [|\omega_s|] = F_1^{-1} [|\omega_s|] \delta(t) = h(s) \delta(t) \quad (3)$$

여기서 (ω_s, ω_t) 는 주파수 영역에서 (s, t) 에 대응하는 좌표축이고 $\delta(t)$ 는 Dirac Delta 함수이며, $h(s)$ 는 $|\omega_s|$ 의 일차원 푸리에 변환이다. 그리고 $F_1^{-1}[\cdot]$ 및 $F_2^{-1}[\cdot]$

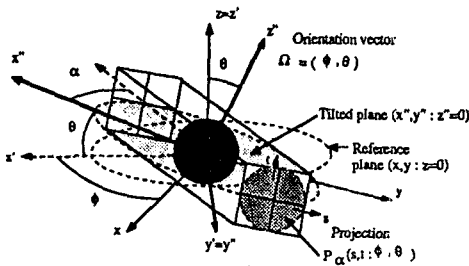


그림 1 3차원 영상 재구성에서 평행주사 구조

는 각각 1차원 및 2차원 푸리에 역변환을 의미한다. 이제 방위각 θ_p , 양각 θ_c 에 위치한 이차원 평행주사 데이터 $p_{\phi_p, \theta_p}(s, t)$ 에 대해 생각해보자. 여기서 s 축은 수평면 ($x, y, z=0$)에 평행하고 주사선에 수직하도록 정해진다. 기존방식인 평행주사방식의 TTR 알고리즘은 복합필터 (composite filter) 개념을 이용하여 다음과 같이 표현된다.

$$f(r) = \frac{1}{8\pi^3} \int_0^{2\pi} d\phi_p \int_0^{\pi/2} d\theta_p \cos\theta_p [p_{\phi_p, \theta_p}(s, t) * h_p(s, t)] \quad (4)$$

$$= \frac{1}{8\pi^3} \int_0^{2\pi} d\phi_p \int_0^{\pi/2} d\theta_p \cos\theta_p \int ds \int dt p_{\phi_p, \theta_p}(s, t) h_p(s-s, t-t)$$

여기서 $h_p(s, t)$ 는 완전한 구에 대한 복합필터로서 다음과 같이 주어진다.

$$h_p(s, t) = F_2^{-1} [\sqrt{\omega_s^2 + \omega_t^2}] = \frac{-1}{(s^2 + t^2)^{3/2}} \quad (5)$$

원추형 알고리즘을 유도하기 위해서는 (4)식으로부터 좌표변환을 수행해야 하는데 방위각 ϕ_p 및 양각 θ_c 에 원추 꼭지점이 있는 원추형 주사 데이터를 $p_{\phi_c, \theta_c}(u, v)$ 라고 표현하면, (u, v) 는 원추형 주사평면상에서 좌표축이다. 임의의 주사선은 평행주사방식의 좌표축이나 원추형 주사방식의 좌표축으로 표현가능하므로 주사 데이터는 좌표변환시에 서로 단순히 대치할 수 있고, 평행주사방식의 변수인 $(s, t; \phi_p, \theta_p)$ 는 원추형 주사방식의 변수인 $(u, v; \phi_c, \theta_c)$ 로 치환되어야 한다.

우선 (s, t) 와 (u, v) 의 관계식을 보다 쉽게 구하기 위해 그림 2 (a), (b)에서처럼 s_ψ 와 t_ψ 축을 정의하는 것이 효과적이다. (s_ψ, t_ψ) 축이 (s, t) 축과 다른 것은, 전자가 원추형 방식에서 주어진 관심있는 주사선에 따라 임의의 각도로 기울어 질 수 있지만 후자는 s 축이 항상 수평면과 평행이 되게 정해진다. 그림 2 (a), (b)에서 (s_ψ, t_ψ) 는 (u, v) 에 대해 다음과 같이 표현된다.

$$t_\psi = D \sin \xi_1, \quad s_\psi = \sqrt{D^2 - t_\psi^2} \sin \xi_2 \quad (6)$$

여기서 D 는 원추 꼭지점에서 좌표축 원점에 이르는 거리이고 ξ_1 및 ξ_2 는 (u_1, v_1) 을 지나도록 주어진 주사선에 대해 다음과 같이 유일하게 정해지는 회전각이다[20].

$$\xi_1 = \tan^{-1} \left(\frac{v_1}{D} \right), \quad \xi_2 = \tan^{-1} \left(\frac{u_1}{\sqrt{D^2 + v_1^2}} \right) \quad (7)$$

따라서 (7)식을 (6)식에 대입하면

$$t_\psi = \frac{D v_1}{\sqrt{D^2 + v_1^2}}, \quad s_\psi = \frac{D^2 u_1}{\sqrt{D^2 + v_1^2}} \quad (8)$$

결과적으로 그림 2 (b)에서 보는 것처럼 (s_ψ, t_ψ) 축은 주사선에 수직한 평면상에서 (s, t) 로 부터 Ψ 각도 만큼 회전한 관계를 갖는데 Ψ 는 다음과 같이 주어진다.

$$\Psi = \text{atan}^{-1} \left\{ \frac{u_1}{\sqrt{D^2 + u_1^2 + v_1^2}} \tan(\theta_c - \xi_1) \right\} \quad (9)$$

또한 그림 3으로 부터 (ϕ_p, θ_p) 와 (ϕ_c, θ_c) 의 관계식을 구할 수 있으며 다음과 같이 주어진다.

$$\phi_p = \phi_c - \tan^{-1} \left\{ \frac{\tan \xi_2}{\cos(\theta_c - \xi_1)} \right\} \quad (10)$$

$$\theta_p = \sin^{-1} \left\{ \frac{\sqrt{D^2 + v_1^2}}{\sqrt{D^2 + u_1^2 + v_1^2}} \sin(\theta_c - \xi_1) \right\} \quad (11)$$

위에서 구해진 식 (6)-(11)을 이용하여 좌표변환을 위한 Jacobian을 구할 수 있는데 이때 보다 일반적인 수식을 위해 (u_1, v_1) 을 (u, v) 로 대체한다[20].

$$J = \frac{D^4}{(D^2 + u^2 + v^2)^2} \left(\frac{\cos \theta_c}{\cos \theta_p} \right) \quad (12)$$

여기서 보다 쉽게 좌표변환을 위해 (4)식에서 필터부분을 별도로 치환하는 것이 필요하게 된다. 이제 재구성하고자 하는 점 (s', t') 으로부터 (s_1, t_1) 을 지나는 주사선에 선으로 내린 거리를 l 로 표현하면

$$l = \sqrt{(s' - s_1)^2 + (t' - t_1)^2} \text{이 되고 } h_p(s' - s_1, t' - t_1) = \frac{-1}{l^3} \text{이 된다.}$$

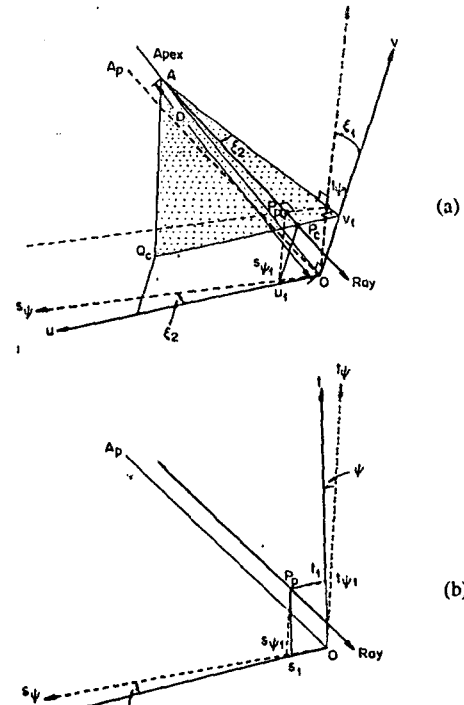


그림 2 Jacobian 계산을 위한 평행 주사와 원추형 주사 구조의 관계

(a) (u, v) 와 (s_ψ, t_ψ) 좌표축 관계
(b) (s_ψ, t_ψ) 와 (s, t) 좌표축 관계

이제 I 을 원추형 주사평면상의 대응점 (u', v') 와 (u_1, v_1) 으로 표현하면 기하학적인 관계로 부터 다음과 같이 구해진다[20].

$$I = m(u_p, v_1 : u', v') \sqrt{(u' - u_p)^2 + (v' - v_p)^2} \quad (13)$$

여기서

$$m(u_1, v_1 : u', v') = \frac{K \sqrt{D^2 + v_\beta^2}}{\sqrt{D^2 + u^2 + v^2} \sqrt{D^2 + u_1^2 + v_1^2}} \quad (14)$$

$$-v_\beta = -u' \sin\beta + v' \cos\beta \quad (15)$$

여기서 K 는 원추 폭지점에서 좌표축 원점까지의 거리이고 β 는 회전 각도로서 (u_1, v_1) 와 (u', v') 에 의해 다음과 같이 구해진다[20].

$$\beta = \tan^{-1} \left(\frac{v' - v_1}{u' - u_1} \right) \quad (16)$$

따라서 식(4)에서 주어진 필터는 다음과 같이 취환된다.

$$h_p(s'-s, t'-t) = \frac{1}{m(u, v : u', v')^3 [(u' - u)^2 + (v' - v)^2]^{3/2}} \\ = \frac{1}{m(u, v : u', v')^3} h_p(u' - u, v' - v) \quad (17)$$

위에서 구한 Jacobian 식(12) 과 취환된 필터(식(17))를 이용하면 식(4)에서 주어진 재구성 알고리즘은 다음과 같이 쓸 수 있다.

$$f(r) = \frac{1}{8\pi^3} \int du \int dv \int d\phi_c \int d\theta_c \cos\theta_c J p_{\phi_c \theta_c}(u, v) \frac{h_p(u' - u, v' - v)}{m(u, v : u', v')^3} \\ = \frac{1}{8\pi^3} \int du \int dv \int d\phi_c \int d\theta_c W_c p_{\phi_c \theta_c}(u, v) h_p(u' - u, v' - v) \quad (18)$$

여기서

$$W_c = \frac{J \cos\theta_p}{m(u, v : u', v')^3} \\ = \frac{D^4 (D^2 + u^2 + v^2)^{3/2}}{K^3 (D^2 + u^2 + v^2)^{1/2} (D^2 + v_\beta^2)^{3/2}} (\cos\theta_c) \quad (19)$$

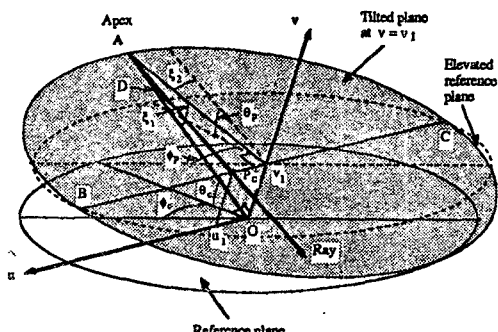


그림 3 (ϕ_p, θ_p) 와 (ϕ_c, θ_c) 좌표축 관계. 여기서 (ϕ_p, θ_p) 축은 매 주사선마다 정해지지만 (ϕ_c, θ_c) 축은 원추 전체에 대해 동일하게 한가지로 정해진다.

식(18)에서 적분 범위는 방위각 및 양각에 대해 각각 다음과 같이 주어진다.

$$\theta_1 = \tan^{-1} \left\{ \frac{\tan\phi_2}{\cos(\theta_c - \xi_1)} \right\}, \quad \theta_2 = 2\pi + \tan^{-1} \left\{ \frac{\tan\phi_2}{\cos(\theta_c - \xi_1)} \right\} \quad (20)$$

$$\theta_1 = -\frac{\pi}{2} + \tan^{-1} \left(\frac{v}{D} \right), \quad \theta_2 = \frac{\pi}{2} + \tan^{-1} \left(\frac{v}{D} \right) \quad (21)$$

그런데 적분 내용이 각도 변수 θ_c 와 θ_c 에 대해 각각 주기적이므로 θ_c 와 θ_c 는 각각 $(0, 2\pi)$ 와 $(-\pi/2, +\pi/2)$ 로 대치될 수 있다. 따라서 기본적인 알고리즘은 다음과 같이 주어진다.

$$f(r) = \int_0^{2\pi} d\phi_c \int_{-\pi/2}^{\pi/2} d\theta_c \cos\theta_c W_2 \int du \int dv [W_1 p_{\phi_c \theta_c}(u, v)] g(u, v : u', v') \quad (22)$$

여기서 $g(u, v : u', v')$ 는 2-D 필터이고 W_1 및 W_2 는 weighting 함수로 다음과 같이 주어진다.

$$g(u, v : u', v') = \frac{D^3}{(D^2 + v_\beta^2)^{3/2}} h_p(u' - u, v' - v) \quad (23)$$

$$W_1 = \frac{D}{\sqrt{D^2 + u^2 + v^2}}, \text{ and} \quad (24)$$

$$W_2 = \frac{1}{8\pi^3} \frac{(D^2 + u^2 + v^2)^{3/2}}{K^3} \quad (25)$$

3. 개선된 TTCR 알고리즘

식(22)를 수식적으로 영상재구성에 직접 적용하는 것이 가능하지만 필터의 특성이 공간좌표상에서 변화하기 때문에 계산 시간이 많이 소요된다. 따라서 적절한 근사조건 하에서 공간좌표에서 일정한 (space-invariant) 필터로 대체함으로써 재구성된 영상에서 정확도와 해상도에서 큰 손상없이 영상을 재구성할 수 있는 알고리즘으로 개선하고자 한다. 식(23)의 분모 분자에 $(D^2 + u_\beta^2)^{3/2}$ 를 곱하는 경우 식(23)는 다음과 같이 다시 쓸 수 있다.

$$g(u, v : u', v') = \frac{D^3 (D^2 + u_\beta^2)^{3/2}}{(D^2 + u^2)^{3/2} (D^2 + v_\beta^2)^{3/2}} h_p(u' - u, v' - v) \quad (26)$$

상대적으로 재구성하고자 하는 대상들의 크기가 작은 경우 u_β 와 v_β 는 D 에 비해 작은 값을 갖는다. 그리고 $u_\beta^2 + v_\beta^2 = u'^2 + v'^2$ 의 관계식을 이용하면 식(26)의 분모는 다음과 같이 쓸 수 있다[20].

$$(D^2 + v_\beta^2)^{3/2} (D^2 + u_\beta^2)^{3/2} \equiv D^3 (D^2 + u^2 + v^2)^{3/2} \quad (27)$$

식(27)은 더 이상 β 의 함수가 아님을 알 수 있다.

그리고 식(26)의 분자를 전개 후 비슷한 근사조건을 적용하면 다음과 같이 얻어진다[20].

$$(D^2 + u_\beta^2)^{3/2} = D(D^2 + \frac{3}{2} u'^2 (u' - u)^2 + v'^2 (v' - v)^2 + 2u' v' (u' - u)(v' - v)) / ((u' - u)^2 + (v' - v)^2) \quad (28)$$

식(24)와 (25)에 주어진 W_1 과 W_2 그리고 식(27)과 (28)의 결과식을 이용하여 다음과 같이 개선된 TTCR 알고리즘이 얻어진다.

$$f(r) = \int_0^{2\pi} d\phi_c \int_{-\pi/2}^{\pi/2} d\theta_c \cos\theta_c \sum_{k=1}^{\infty} W_{2k} [W_1 p_{\phi_c \theta_c}(u, v)] * g_k(u, v) \quad (29)$$

여기서

$$W_{21} = \frac{1}{8\pi^3 K^3} D^3, \quad g_1(u,v) = \frac{-1}{(u^2 + v^2)^{3/2}} \quad (30)$$

$$W_{22} = \frac{3}{16\pi^3 K^3} \frac{Du^2}{K^3}, \quad g_2(u,v) = \frac{-u^2}{(u^2 + v^2)^{5/2}} \quad (31)$$

$$W_{23} = \frac{3}{16\pi^3 K^3} \frac{Dv^2}{K^3}, \quad g_3(u,v) = \frac{-v^2}{(u^2 + v^2)^{5/2}} \quad (32)$$

$$W_{24} = \frac{3}{8\pi^3 K^3} \frac{Du'v'}{K^3}, \quad g_4(u,v) = \frac{-uv}{(u^2 + v^2)^{5/2}} \quad (33)$$

4. 시뮬레이션 및 결론

제안된 TTCT 알고리즘을 확인하기 위해, 수학적인 모델(phantom)을 이용하여 시뮬레이션을 수행하였다. 완전한 구에 대해 방위각과 양각을 각각 $32(\Delta\phi = 11.25^\circ)$ 와 $16(\Delta\theta = 11.25^\circ)$ 가지씩으로 나누었으며 이 수치는 편의상 정했으며 요구되는 해상도에 따라 변화시킬 수 있다. 대상 물체의 높도는 그림 4(a)에서 보는 것처럼 수 % 내에서 변화하도록 정했으며 주사선 수 32×32 로 얼른 후 재구성한 영상을 그림 4(b)에 나타냈다. 가운데를 자른 단면이 영상 위쪽에 보여지고 있는데 밝기가 2% (1.00 - 1.02) 범위로 나타나 있다. 제시된 TTCT 알고리즘에 의한 영상 재구성이 1%보다 적은 밝기 오차를 갖고 있음을 알 수 있다.

기존의 평행 주사 방식인 TTR 알고리즘과 해상도 면에서 비교하기 위해 그림 4(a)에서 보는 모델을 사용하였다. 그림 5(b)와 (c)는 각각 TTCT과 TTR 알고리즘으로 재구성된 영상이며 (b)와 (c)는 각각 그 단면도들이다. 예측했던 것처럼 제시된 TTCT 알고리즘이 기존의 TTR 알고리즘에 비해 해상도가 대략 2배 정도 개선되는 것을 알 수 있다.

결론적으로 새로 제안된 TTCT 알고리즘이 원추형 주사방식의 2차원 주사데이터로부터 직접 3차원 영상을 정확하게 재구성할 수 있으며 평행주사데이터로 재배열(rebinning) 할 필요가 없으므로 간단하다. 또한 해상도 면에서 기존의 TTR 알고리즘에 비해 수평방향 및 수직방향으로 2배 정도 좋아짐을 알 수 있다. 이러한 점은 2차원 영상 재구성시 부채꼴 주사 방식에서 평행 주사방식보다 약 2배 정도 해상도가 좋아지는 것과 유사하다. 따라서 새로 제안된 TTCT 알고리즘은 구형 양전자 방출형 단층 활영장치(Spherical PET) [21] 등에 새로운 3차원 영상재구성 알고리즘으로 효과적으로 이용될 수 있겠다.

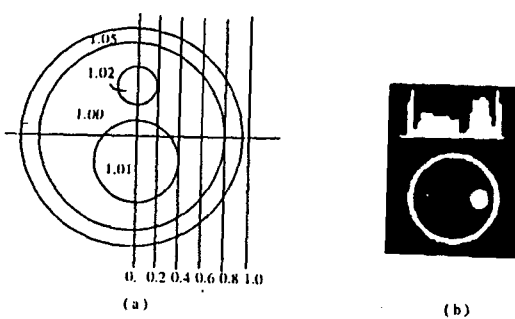
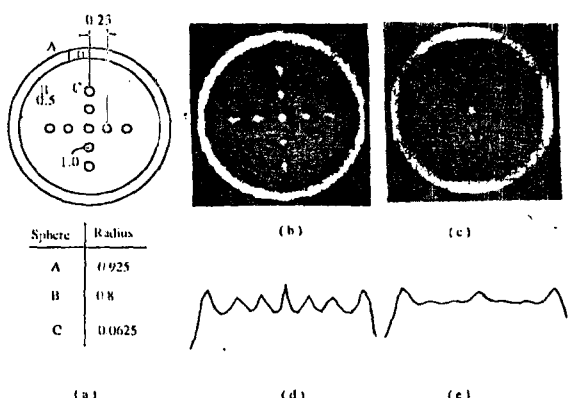


그림 4 (a) 1% 차를 갖는 3차원 모델 (b) TTCT 알고리즘에 의해 재구성된 영상과 중심에서의 단면도



참고 문헌

- Z. H. Cho, "General view on 3-D image reconstruction and computerized transverse axial tomograph," IEEE Trans. Nucl. Sci., NS-21, No.3, Special Issue on 3-D Image Reconstruction, June 1974
- Z. H. Cho, and J. R. Burger, "Construction, restoration, and enhancement of 2 and 3-dimensional images," IEEE Trans. Nucl. Sci., NS-24, No.2, pp886-899, April 1977
- L. A. Shepp, and B. F. Logan, "The Fourier reconstruction of a head section," IEEE Trans. Nucl. Sci., NS-21, pp21-50, June 1974
- O. Nalcioglu, and Z. H. Cho, "Reconstruction of 3-D objects from cone beam projections," Proc. IEEE, Vol.66, pp1584-1585, 1978
- J. B. Ra, and Z. H. Cho, "Generalized true three-dimensional reconstruction algorithm," Proc. IEEE, Vol.69, pp668-670, 1981
- J. B. Ra, C. B. Lim, Z. H. Cho, S. K. Hilal, and J. Correll, "A true three-dimensional reconstruction algorithm for the spherical positron emission tomograph," Phys. Med. Biol., Vol.27, pp37-50, 1982
- Z. H. Cho, J. B. Ra, S. K. Hilal, "True three-dimensional reconstruction(TTR) - application of algorithm toward full utilization of oblique rays," IEEE Trans. on Med. Imag., MI-2, No.1, pp6-18, Mar 1983
- Z. H. Cho, Computerized tomography, Encyclopedia of Physical Science and Technology, Vol.3, Academic Press, Inc., pp507-544, 1987
- M. D. Altschuler, G. T. Herman, and A. Lent, "Fully three-dimensional reconstruction from cone beam sources," Proc. Conference on Pattern Recognition and Image Processing, IEEE Computer Society, pp194-199, May 1978
- M. Schindlwein, "Iterative three-dimensional reconstruction from twin-cone beam projections," IEEE Trans. Nucl. Sci., NS-25, pp1135-1143, 1974
- G. Kowalski, "Multislice reconstruction from twin-cone beam scanning," IEEE Trans. Nucl. Sci., NS-26, No.2, pp2895-2903, April 1979
- L. A. Feldkamp, L. C. Davis, and J. W. Kress, "Practical cone-beam algorithm," J. Opt. Soc. Am. A/Vol.1, No.6, pp612-619, June 1984
- S. Webb, J. Sutcliffe, L. Burkinshaw, and A. Horsman, "Tomographic reconstruction from experimentally obtained cone-beam projection," IEEE Trans. Med. Imag., MI-6, No.1, pp67-73, Mar 1987
- R. V. Denton, B. Friedlander, and A. J. Rockmore, "Direct three-dimensional image reconstruction from divergent rays," IEEE Trans. Nucl. Sci., NS-26,

pp4095-4703, 1979

F. C. Peyrin, "The generalized back projection theorem for cone beam reconstruction," IEEE Trans. Nucl. Sci., NS-32, No.4, pp1512-1519, Aug 1985

16. A. V. Lakshminarayanan, " Reconstruction from divergent ray data," Dep. Comput. Sci. Tech. Rep. TR-92, State University of New York at Buffalo, 1975
17. G. T. Herman, A. V. Lakshminarayanan, and A. Naparstek, " Convolution reconstruction techniques for divergent beams," Comput. Bio. Med., Vol.6, pp259-271, 1976
18. B. K. P. Horn, " Fan-beam reconstruction methods," Proc. IEEE, Vol.67, No.12, pp1616-1623, Dec 1979
19. J. G. Rogers, R. Harrop, and P. E. Kinahan, " The theory of three-dimensional image reconstruction for PET," IEEE Trans. Med. Imag., MI-6, No. 3, pp239-243, Sep 1987
20. S. Z. Lee, J. B. Ra, S. K. Hilal, and Z. H. Cho, " True Three-dimensional Cone-beam Reconstruction(TTCR) Algorithm," Submitted to IEEE Trans. Med. Imag., 1989
21. Z. H. Cho, K. S. Hong, and S. K. Hilal, " Spherical positron emission tomograph(S-PET) I - performance analysis," Nucl. Instr. Meth. in Phys. Res., 225, pp422-438, 1984